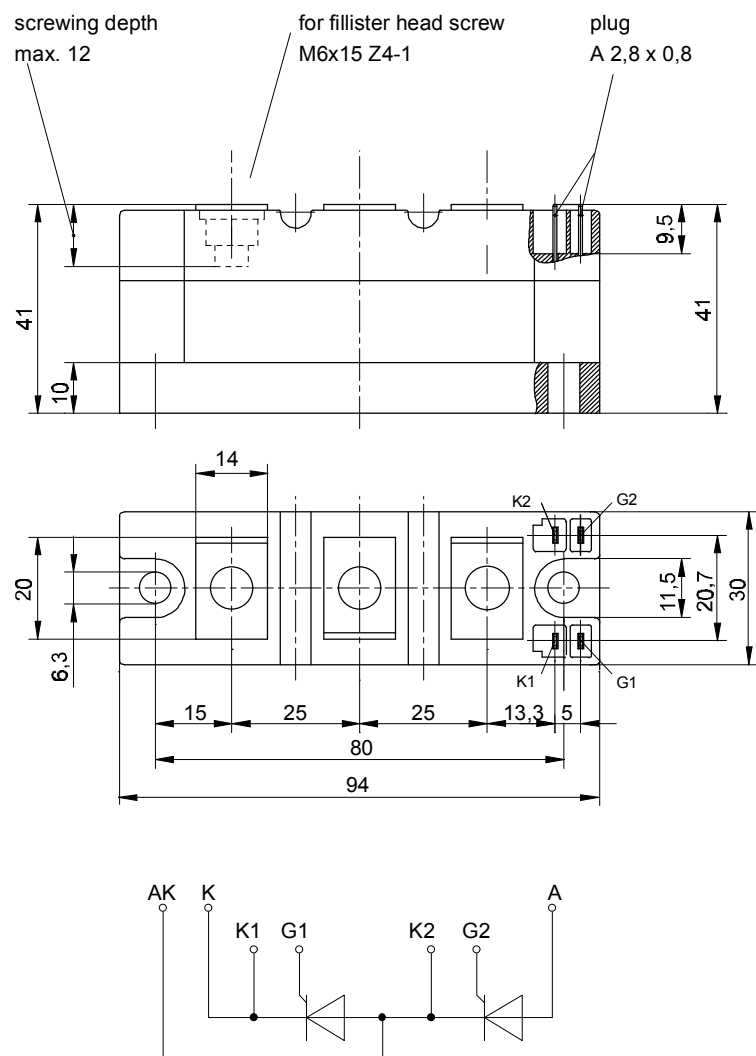


European Power-  
Semiconductor and  
Electronics Company  
GmbH + Co. KG

## Marketing Information TT 131 N



# TT 131 N, TD 131 N, DT 131 N

## Elektrische Eigenschaften

### Höchstzulässige Werte

Periodische Vorwärts- und Rückwärts-Spitzensperrspannung  
Vorwärts-Stoßspitzensperrspannung

Rückwärts-  
Stoßspitzensperrspannung  
Durchlaßstrom-Grenzeffektivwert  
Dauergrenzstrom

Stoßstrom-Grenzwert

Grenzlastintegral

Kritische Stromteilheit

Kritische Spannungsteilheit

### Charakteristische Werte

Durchlaßspannung

Schleusenspannung

Ersatzwiderstand

Zündstrom

Zündspannung

Nicht zündender Steuerstrom

Nicht zündende Steuerspannung

Haltestrom

Einraststrom

Vorwärts- und Rückwärts-  
Sperrstrom

Zündverzug

Freiwerdezeit

Isolations-Prüfspannung

## Thermische Eigenschaften

Innerer Wärmewiderstand

Übergangs-Wärmewiderstand

Höchstzul. Sperrsichttemperatur

Betriebstemperatur

Lagertemperatur

## Mechanische Eigenschaften

Gehäuse, siehe Seite

Si-Elemente mit Druckkontakt

Innere Isolation

Anzugsdrehmoment für

mechanische Befestigung

Anzugsdrehmoment für elektrische

Anschlüsse

Gewicht

Kriechstrecke

Schwingfestigkeit

## Electrical properties

### Maximum rated values

repetitive peak forward off-state and reverse voltages  
non-repetitive peak forward off-state voltage

non-repetitive peak reverse voltage

RMS on-state current  
average on-state current

$t_c = 85^\circ\text{C}$

$t_c = 81^\circ\text{C}$

$t_{vj} = 25^\circ\text{C}, t_p = 10 \text{ ms}$

$t_{vj} = t_{vj \max}, t_p = 10 \text{ ms}$

$t_{vj} = 25^\circ\text{C}, t_p = 10 \text{ ms}$

$t_{vj} = t_{vj \max}, t_p = 10 \text{ ms}$

$v_D \leq 67\%, V_{DRM}, f_o = 50 \text{ Hz}$

$v_L = 10 \text{ V}, i_{GM} = 0,6 \text{ A}, di_G/dt = 0,6 \text{ A}/\mu\text{s}$

$t_{vj} = t_{vj \max}, v_D = 0,67 \text{ V}_{DRM}$

$(di/dt)_cr$

$(dv/dt)_cr$

$V_{DRM}, V_{RRM}$  600 800 1000  
1200 1400 V

$V_{DSM} = V_{DRM}$

$V_{RSM} = V_{RRM}$  + 100 V

$I_{TRMSM}$  220 A

$I_{TAVM}$  131 A

140 A

$I_{TSM}$  3600 A

3200 A

$\int i^2 dt$  64800 A<sup>2</sup>s

51200 A<sup>2</sup>s

150 A/ $\mu$ s

1000 V/ $\mu$ s

### Characteristic values

on-state voltage  $t_{vj} = t_{vj \max}, i_T = 350 \text{ A}$   $v_T$  max.1,48 V

threshold voltage  $t_{vj} = t_{vj \max}$   $V_{T(TO)}$  0,85 V

slope resistance  $t_{vj} = t_{vj \max}$   $r_T$  1,5 mΩ

gate trigger current  $t_{vj} = 25^\circ\text{C}, v_D = 6 \text{ V}$   $I_{GT}$  max. 150 mA

gate trigger voltage  $t_{vj} = 25^\circ\text{C}, v_D = 6 \text{ V}$   $V_{GT}$  max.1,4 V

gate non-trigger current  $t_{vj} = t_{vj \max}, v_D = 6 \text{ V}$   $I_{GD}$  max.5 mA

gate non-trigger voltage  $t_{vj} = t_{vj \max}, v_D = 0,5 \text{ V}_{DRM}$   $V_{GD}$  max.0,2 V

holding current  $t_{vj} = 25^\circ\text{C}, v_D = 6 \text{ V}, R_A = 5 \Omega$   $I_H$  max. 200 mA

latching current  $t_{vj} = 25^\circ\text{C}, v_D = 6 \text{ V}, R_{GK} > = 10 \Omega$   $I_L$  max. 620 mA

$i_{GM} = 0,6 \text{ A}, di_G/dt = 0,6 \text{ A}/\mu\text{s}, t_g = 20 \mu\text{s}$

$t_{vj} = t_{vj \max}, v_D = V_{DRM}, v_R = V_{RRM}$   $i_D, i_R$  max. 25 mA

forward off-state and reverse currents

gate controlled delay time  $t_{vj}=25^\circ\text{C}, i_{GM} = 0,6 \text{ A}, di_G/dt = 0,6 \text{ A}/\mu\text{s}$   $t_{gd}$  max.3  $\mu$ s

circuit commutated turn-off time  $t_q$  typ.180  $\mu$ s

insulation test voltage  $RMS, f = 50 \text{ Hz}, t = 1 \text{ min}$   $V_{ISOL}$  3 kV

### Thermal properties

thermal resistance, junction to case  $\Theta = 180^\circ\text{el,sinus: pro Modul/per module}$   $R_{thJC}$

pro Zweig/per arm

DC: pro Modul/per module

pro Zweig/per arm

pro Modul/per module

pro Zweig/per arm

max. junction temperature  $t_{vj \ max}$  125 °C

operating temperature  $t_{c \ op}$  -40...+125 °C

storage temperature  $t_{stg}$  -40...+130 °C

Übergangs-Wärmewiderstand  $R_{thCK}$

max.0,03 °C/W

max.0,06 °C/W

max.0,115 °C/W

max.0,23 °C/W

max.0,107 °C/W

max.0,214 °C/W

Mechanical properties  $G$  1

case, see page

Si-pellet with pressure contact

internal insulation

mounting torque  $Toleranz/tolerance +/- 15\%$  M1

terminal connection torque  $Toleranz/tolerance +5\%/-10\%$  M2

weight  $f = 50 \text{ Hz}$  G

creepage distance typ.430 g

vibration resistance 14 mm

5 . 9,81 m/s<sup>2</sup>

Diese Module können auch mit gemeinsamer Anode oder gemeinsamer Kathode geliefert werden.

These modules can also be supplied with common anode or common cathode.

Recognized by UNDERWRITERS LABORATORIES INC.

## TT 131 N

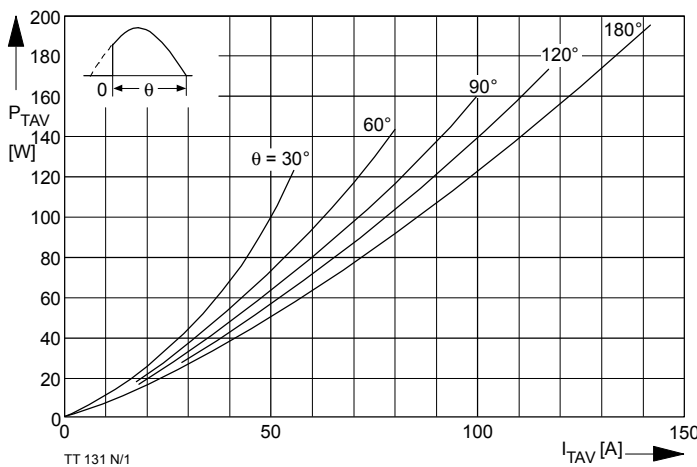


Bild / Fig. 1

Durchlaßverlustleistung je Zweig / On-state power loss per arm  
 $P_{TAV} = f(I_{TAV})$   
 Parameter: Stromflußwinkel / current conduction angle  $\theta$

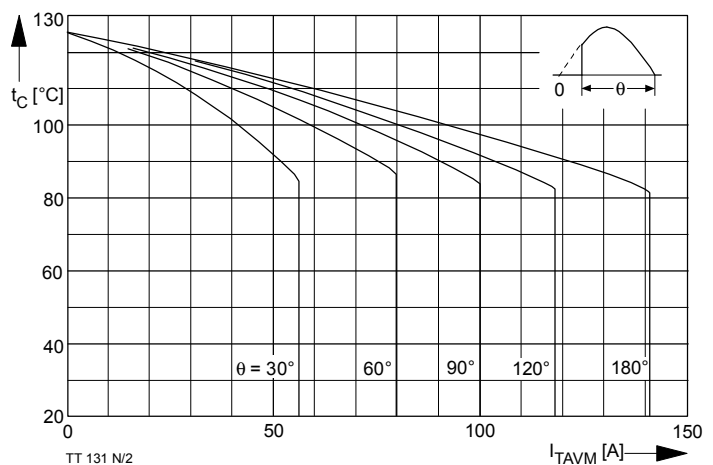


Bild / Fig. 2

Höchstzulässige Gehäusetemperatur / Maximum allowable case temperature  
 $t_C = f(I_{TAVM})$   
 Strombelastung je Zweig / current load per arm  
 Parameter: Stromflußwinkel / current conduction angle  $\theta$

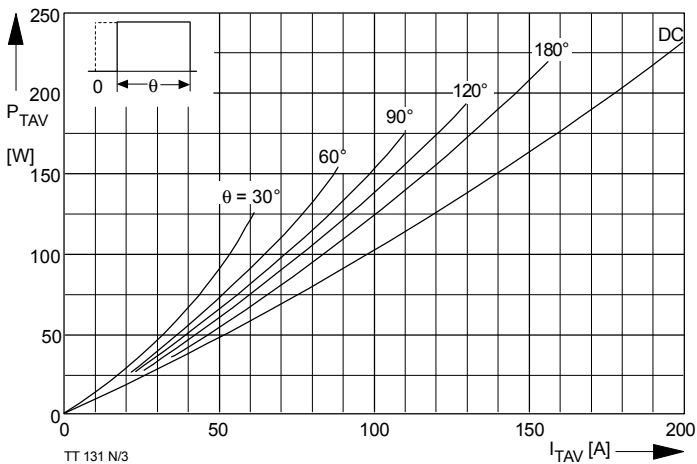


Bild / Fig. 3

Durchlaßverlustleistung je Zweig / On-state power loss per arm  
 $P_{TAV} = f(I_{TAV})$   
 Parameter: Stromflußwinkel / current conduction angle  $\theta$

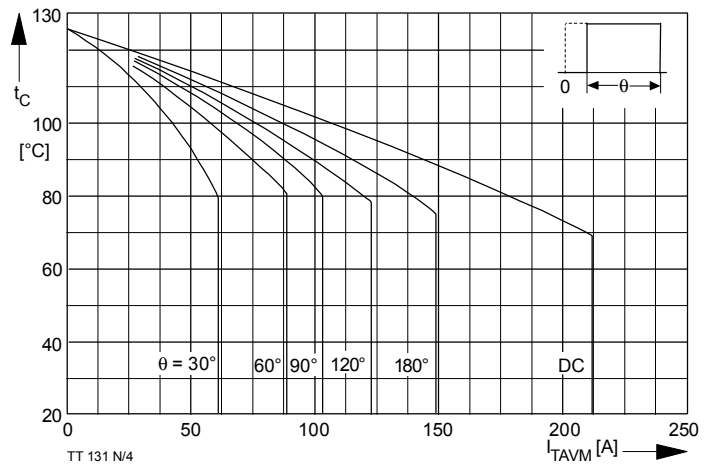


Bild / Fig. 4

Höchstzulässige Gehäusetemperatur / Maximum allowable case temperature  
 $t_C = f(I_{TAVM})$   
 Strombelastung je Zweig / current load per arm  
 Parameter: Stromflußwinkel / current conduction angle  $\theta$

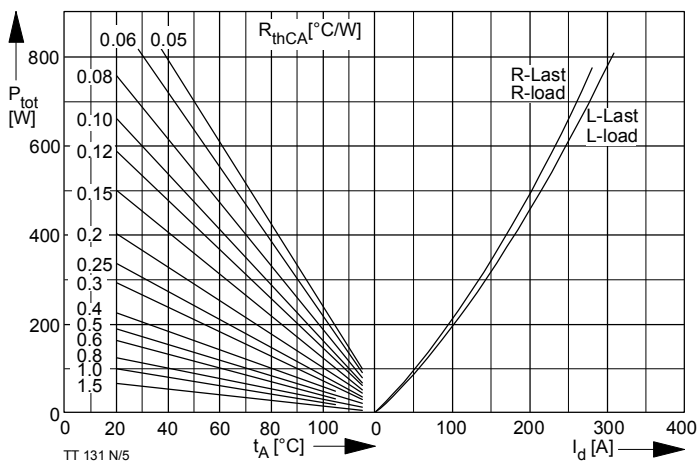


Bild / Fig. 5

B2 - Zweipuls-Brückenschaltung / Two-pulse bridge circuit  
 Höchstzulässiger Ausgangsstrom / Maximum rated output current  $I_d$   
 Gesamtverlustleist. der Schaltung / total power dissip. of the circuit  $P_{tot}$   
 Parameter: Wärmewiderstand zwischen Gehäuse und Umgebung / thermal resistance case to ambient  $R_{thCA}$

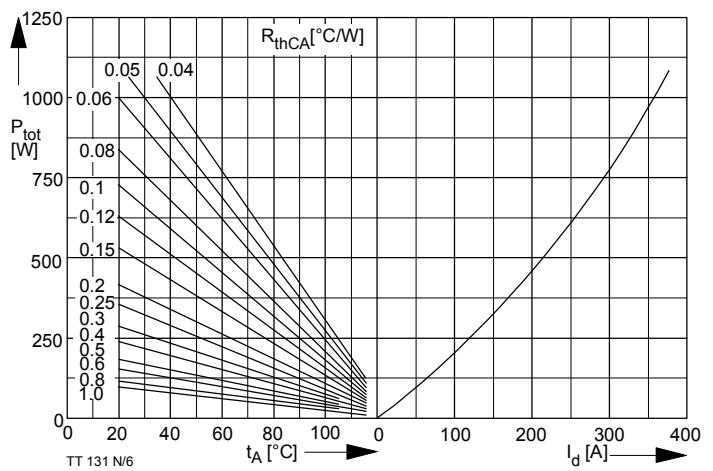


Bild / Fig. 6

B6 - Sechspuls-Brückenschaltung / Six-pulse bridge circuit  
 Höchstzulässiger Ausgangsstrom / Maximum rated output current  $I_d$   
 Gesamtverlustleist. der Schaltung / Total power dissip. of the circuit  $P_{tot}$   
 Parameter: Wärmewiderstand zwischen Gehäuse und Umgebung / thermal resistance case to ambient  $R_{thCA}$

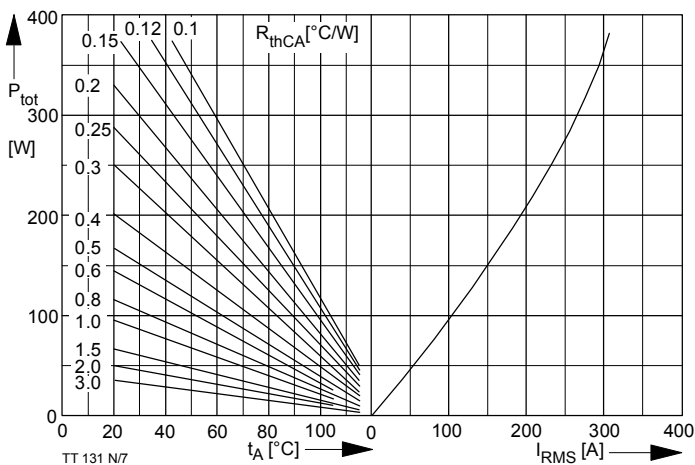


Bild / Fig. 7  
W1C - Einphasen-Wechselwegschaltung / Single-phase inverse parallel circuit  
Höchstzulässiger Effektivstrom / Maximum ratet RMS current  $I_{\text{RMS}}$   
Gesamtverlustleist. der Schaltung / Total power dissip. at the  
circuit  $P_{\text{tot}}$   
Parameter: Wärmewiderstand zwischen Gehäuse und Umgebung/  
thermal resistance case to ambient  $R_{\text{thCA}}$

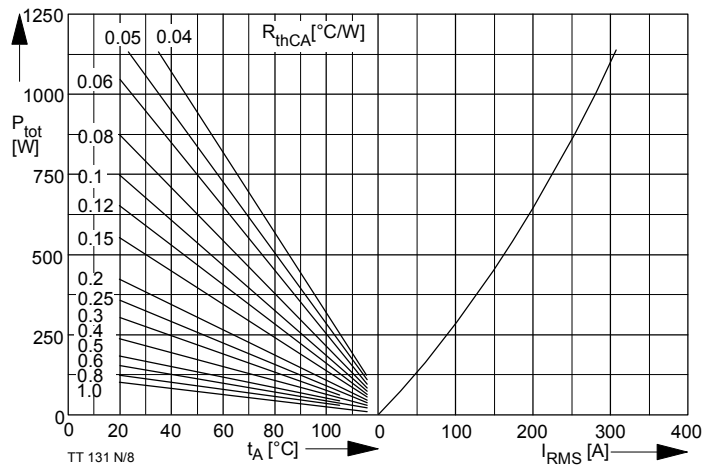


Bild / Fig. 8  
W3C - Dreiphasen-Wechselwegschaltung / Three-phase inverse parallel circuit  
Höchstzulässiger Effektivstrom je Phase / Maximum ratet RMS current per  
phase  $I_{\text{RMS}}$   
Gesamtverlustleist. der Schaltung / Total power dissip. at the circuit  $P_{\text{tot}}$   
Parameter: Wärmewiderstand zwischen Gehäuse und Umgebung/  
thermal resistance case to ambient  $R_{\text{thCA}}$

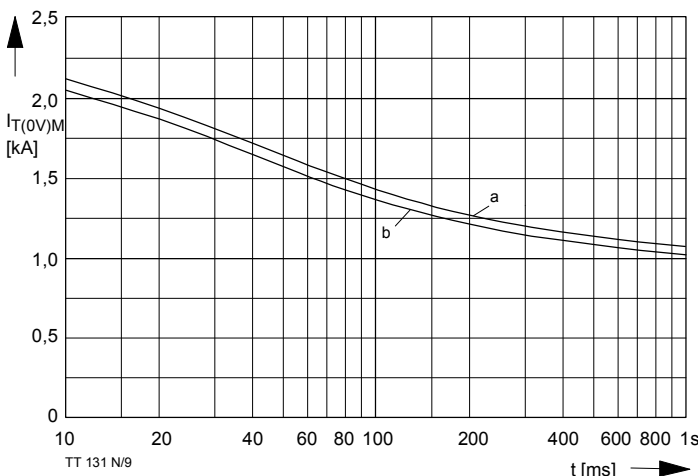


Bild / Fig. 9  
Grenzstrom je Zweig  $I_{T(\text{OV})M}$ : Belastung aus Leerlauf,  $V_{\text{RM}} = 0,8 V_{\text{RRM}}$   
Maximum overload on-state per arm current  $I_{T(\text{OV})M}$ : Surge current under  
no-load conditions,  $V_R = 0,8 V_{\text{RRM}}$   
a -  $t_A = 35^{\circ}\text{C}$ , verstärkte Luftkühlung / forced cooling  
b -  $t_A = 45^{\circ}\text{C}$ , Luftseltbstkühlung / natural cooling

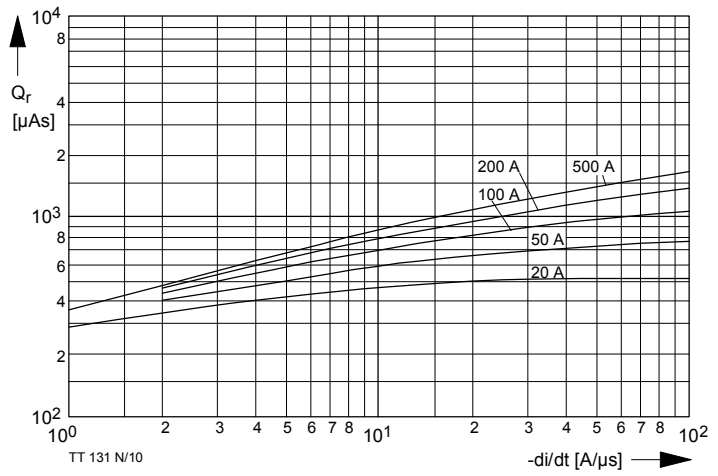


Bild / Fig. 10  
Sperrverzögerungsladung / Recovery charge  $Q_r = f(-di/dt)$   
 $t_{vj} = t_{v\text{max}}$ ,  $V_R \leq 0,5 V_{\text{RRM}}$ ,  $V_{\text{RM}} = 0,8 V_{\text{RRM}}$   
Parameter: Durchlaßstrom / On-state current  $i_{\text{TM}}$

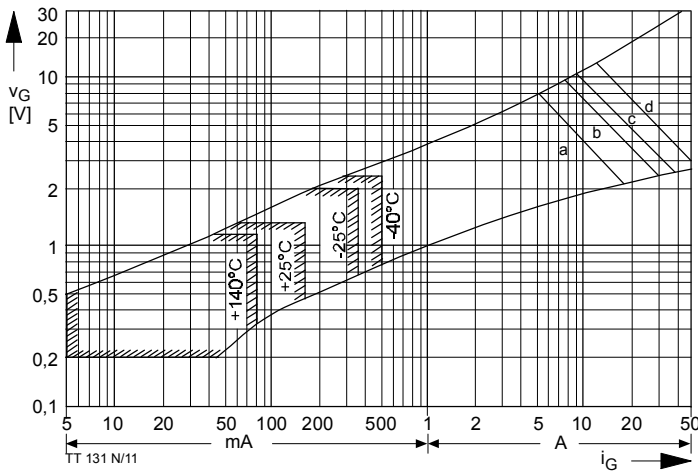


Bild / Fig. 11  
Steuercharakteristik mit Zündbereichen / Gate characteristic with triggering  
areas,  $v_G = f(i_G)$ ,  $v_D = 6 \text{ V}$   
Parameter:  
Steuerimpulsdauer / Pulse duration  $t_g$  [ms] a b c d  
Höchstzulässige Spitzesteuerleistung/  
Maximum allowable peak gate power [W] 40 80 100 150

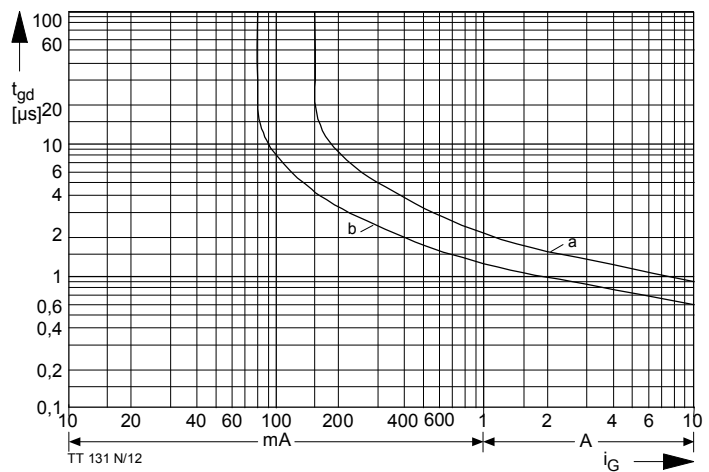


Bild / Fig. 12  
Zündverzug / Gate controlled delay time  $t_{\text{gd}} = f(i_G)$   
 $t_{vj} = 25^{\circ}\text{C}$ ,  $di_G/dt = i_{\text{GM}}/1\mu\text{s}$   
a - äußerster Verlauf / limiting characteristic  
b - typischer Verlauf / typical characteristic

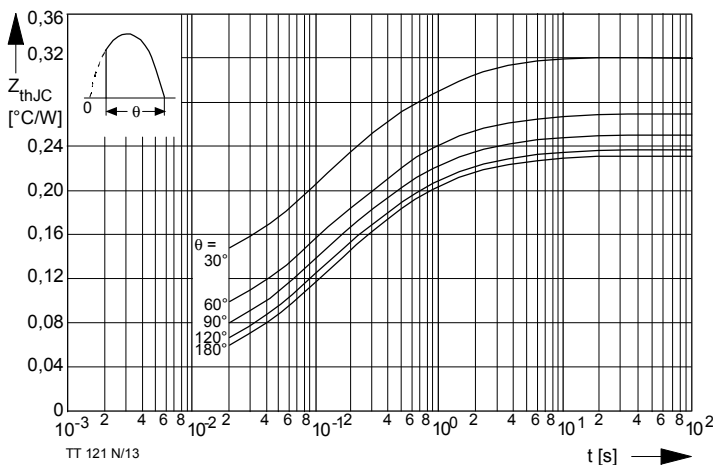


Bild / Fig. 13

Transienter innerer Wärmewiderstand je Zweig / Transient thermal impedance per arm  $Z_{(th)JC} = f(t)$   
Parameter: Stromflußwinkel / current conduction angle  $\theta$

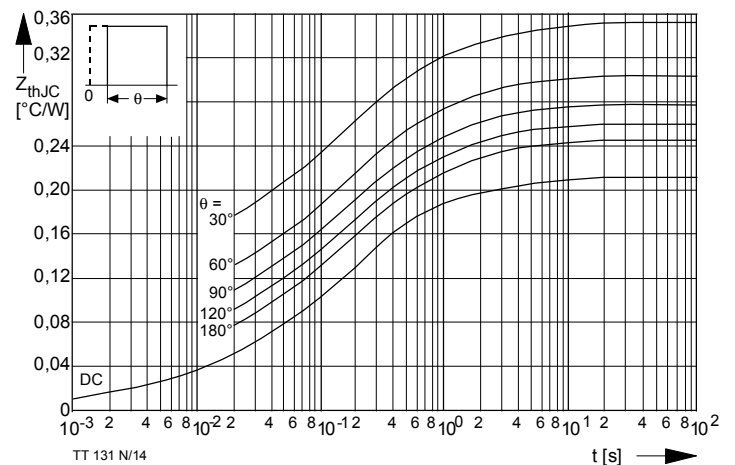


Bild / Fig. 14

Transienter innerer Wärmewiderstand je Zweig / Transient thermal impedance per arm  $Z_{(th)JC} = f(t)$   
Parameter: Stromflußwinkel / current conduction angle  $\theta$

Analytische Elemente des transienten Wärmewiderstandes  $Z_{thJC}$  pro Zweig für DC  
Analytical elements of transient thermal impedance  $Z_{thJC}$  per arm for DC

Pos. n	1	2	3	4	5	6	7
$R_{thn}$ [°C/W]	0,00956	0,025	0,0763	0,0726	0,0305		
$\tau_n$ [s]	0,00089	0,0078	0,086	0,412	2,45		

Analytische Funktion / Analytical function:

$$Z_{thJC} = \sum_{n=1}^{n_{\max}} R_{thn} \left(1 - e^{-\frac{t}{\tau_n}}\right)$$